

Таким образом, характерное время памяти капли оказывается в  $1 + \eta_0/\eta$  раз меньше времени релаксации жидкости, из которой она состоит.

*Поступила 20 I 1975*

#### ЛИТЕРАТУРА

1. Левич В. Г. Физико-химическая гидродинамика. М., Физматгиз, 1959.
2. Ландау Л. Д., Либшиц Е. М. Механика сплошных сред. М., Гостехиздат, 1954.

УДК 533.6.011.3

### РЕШЕНИЕ ПРЯМОЙ ЗАДАЧИ О ТЕЧЕНИИ ДВУХФАЗНОЙ СМЕСИ ГАЗА И ИНОРОДНЫХ ТВЕРДЫХ ИЛИ ЖИДКИХ ЧАСТИЦ В СОПЛЕ ЛАВАЛЯ

B. I. Kopchenov

(Москва)

В рамках двухжидкостной (двухскоростной и двухтемпературной) модели сплошной среды рассматривается течение смеси газа и инородных частиц в до-звуковой, трансзвуковой и сверхзвуковой частях сопла Лаваля. В случае тонкого пристеночного слоя чистого газа задача решается в два этапа. Вначале при помощи метода установления рассчитывается ядро потока, где течет газ с частицами, при этом параметры в слое чистого газа определяются приближенно, а затем по упрощенным уравнениям (типа уравнений пограничного слоя) находится распределение параметров в зоне чистого газа и уточняется течение в ядре потока. Приведены примеры расчета. Применение развитого метода позволило установить некоторые особенности течения смеси газа с частицами в сопле Лаваля в случае стоксовского закона обтекания инородных частиц.

Для решения прямой задачи о течении смеси газа с частицами в сопле Лаваля в двумерной постановке в работах [1,2] применялся метод установления. Однако из-за отставания частиц вблизи стенки образуется слой чистого газа. Этот слой может быть достаточно тонким, но при сколь угодно малой его толщине в случае конечного относительного расхода частиц (расход частиц к расходу смеси) параметры газа в нем меняются на конечную величину. Последнее обстоятельство существенно затрудняет применение метода установления в случае малой толщины пристеночного слоя, так как для достижения удовлетворительной точности в слое чистого газа потребовалось бы достаточно мелкое разбиение, что привело бы к существенному увеличению времени счета задачи.

В работе [3] задача о течении смеси газа с частицами в сопле Лаваля решалась с помощью метода возмущений. Предполагалось, что коэффициенты  $\varphi^f$  и  $\varphi^q$ , определяющие взаимодействие частиц с газом, велики. Решение находилось в виде разложений по малым параметрам  $\varepsilon_1 = 1/\varphi^f$  и  $\varepsilon_2 = 1/\varphi^q$ . Были получены упрощенные уравнения, описывающие течение в пристеночном слое чистого газа. Отмечалось, что, поскольку малый параметр появляется в уравнениях лишь через толщину слоя, которая в рас-

сматриваемом в указанной работе случае пропорциональна  $\varepsilon_1$ , те же самые соотношения будут справедливы при любом  $\varepsilon_1$  для слоя чистого газа, толщина которого мала по сравнению с характерным размером сопла.

В соответствии с высказанным в данной работе решением прямой задачи о течении смеси газа с частицами в сопле Лаваля в случае достаточно тонкого пристеночного слоя проводится в два этапа. Вначале с помощью метода установления рассчитывается ядро потока, где течет газ с частицами. Задача решается на грубом для пристеночного слоя, но достаточном, с точки зрения точности в ядре, разбиении. Затем по упрощенным уравнениям на основании распределений параметров газа вдоль линии раздела, полученных с помощью метода установления, находится течение в пристеночном слое с последующим уточнением течения в ядре. Применение развитого в работе метода позволило установить и изучить некоторые особенности течения смеси газа и частиц в сопле Лаваля в случае стоксовского закона.

Рассмотрим течение смеси газа и инородных частиц в осесимметричном сопле Лаваля. Начало цилиндрической системы координат поместим в минимальном сечении сопла, ось  $x$  направим по оси течения в сторону движения, а ось  $y$  — перпендикулярно оси  $x$ . Предполагается, что коагуляция, фазовые переходы, внешние силы и источники тепла отсутствуют, а объем частиц пренебрежимо мал по сравнению с объемом газа. Примем, что рассматриваемое течение можно описать в рамках модели двухжидкостной сплошной среды. Уравнения течения такой среды приведены, например, в [2].

В рамках указанной модели взаимодействие между газом и частицами обусловлено силой  $f$ , с которой газ действует на частицы, и тепловым потоком  $q$  от газа к частицам, причем под  $f$  и  $q$  понимаются величины, приходящиеся на одну частицу, отнесенные к ее массе. Для  $f$  и  $q$  принимаются следующие выражения:  $f = \varphi^f(W - W_s)$ ;  $q = \varphi^q(T - T_s)$ , где  $W$  и  $T$  — вектор скорости и температура газа, а  $W_s$  и  $T_s$  — аналогичные величины для частиц. Коэффициенты  $\varphi^f$  и  $\varphi^q$  в дальнейшем будем считать постоянными, что отвечает стоксовскому режиму обтекания каждой частицы. Отметим, что последнее предположение о режиме обтекания частиц не принципиально с точки зрения используемого метода.

Рассматривается совершенный газ с постоянными теплоемкостями и показателем адиабаты  $\kappa$ . Удельная внутренняя энергия частиц  $e_s$  есть линейная функция их температуры  $T_s$ , т. е.  $e_s = \delta T_s$ , где  $\delta = \text{const}$  — удельная теплоемкость частиц.

Все величины в приведенных соотношениях и далее будут безразмерными. Пусть  $L$ ,  $W_*$ ,  $\rho_*$  — характерные величины с размерностями длины, скорости и плотности, а  $R$  — размерное значение газовой постоянной. Тогда приведение к безразмерному виду достигается отнесением пространственных переменных к  $L$ , скоростей — к  $W_*$ , плотностей — к  $\rho_*$ , давления — к  $\rho_* W_*^2$ , энталпии и внутренней энергии — к  $W_*^2$ , температур — к  $W_*^2/R$ , теплоемкости частиц — к  $R$ , силы  $f$  — к  $W_*^2/L$ , теплового потока  $q$  — к  $W_*^3/L$ . За  $L$  принимается радиус минимального сечения сопла, а в качестве  $\rho_*$ ,  $W_*$  выбираются критические плотность и скорость смеси при равновесном течении, т. е. течении без отставания частиц по скорости и температуре.

Решение стационарной задачи получается в процессе установления по времени. Границные условия берутся совпадающими с граничными условиями соответствующей стационарной задачи. Предполагается, что сопло плавно примыкает к полубесконечной цилиндрической трубе. Тогда при  $x \rightarrow \infty$  реализуется течение без динамического (по скорости) и

теплового (по температуре) отставания частиц, с вертикальными составляющими скоростей газа и частиц, равными нулю. Распределения полной энталпии и энтропии смеси, отношение плотности частиц к плотности газа считаются постоянными по сечению. Известно, (см., например, [3]), что равновесное течение смеси газа и частиц эквивалентно течению газа с плотностью  $\rho_s = \rho + \rho_s$  и эффективным показателем адиабаты  $\kappa_e$ , который определяется с помощью следующих соотношений:

$$\kappa_e = \frac{\beta}{\beta - 1} \quad (\beta = \frac{\kappa}{\kappa - 1} + \frac{1 - m}{m} \delta).$$

Здесь  $\rho$ ,  $\rho_s$ ,  $\rho$  — плотности газа, частиц и смеси соответственно, а  $m = \rho / (\rho + \rho_s)$  — заданная константа, равная относительному расходу газа при  $x \rightarrow -\infty$ . При проведении расчетов граничные условия спосиались в некоторое достаточно удаленное сечение  $x = x_0$  в цилиндрической части канала.

На стенке сопла и на оси выполняется условие непротекания для газа. Для частиц подобное граничное условие не выставляется. Однако предполагается, что отсутствуют отражение частиц от стенки и пересечение линий тока частиц в поле течения. Выполнимость последнего условия может быть проверена после решения задачи. При его нарушении описание течения в рамках двухжидкостной среды становится невозможным.

Выходное сечение сопла выбирается настолько далеко в расширяющейся части, что там реализуется условие  $u > a$ , где  $u$  — проекция скорости газа  $\mathbf{W}$  на ось  $x$ ;  $a = \sqrt{\kappa p / \rho}$  — скорость звука в газе, и поэтому в указанном сечении не нужно ставить какие-либо дополнительные граничные условия.

Стационарное поле течения получается в процессе установления по времени. Особенности разностной схемы, применявшейся при установлении, изложены в [2]. По найденным в результате установления распределениям параметров вдоль линии раздела между слоем чистого газа и ядром потока при помощи упрощенных уравнений, предложенных в [3], находится течение в пристеночном слое.

Рассмотрение течения в слое чистого газа проводится в криволинейной системе координат  $t\tau$ , связанной со стенкой сопла, причем оси  $t$  и  $\tau$  направлены по касательной и по нормали к стенке в сторону газа соответственно. Следует отметить, что данный подход допускает расчет пристеночного слоя по сечениям, нормальным к стенке. Распределение параметров в слое чистого газа с точностью до  $O(\varepsilon)$ , где  $\varepsilon$  — малый параметр, равный отношению толщины слоя к характерному размеру задачи, в сечении  $\tau = \text{const}$  находится из следующей системы уравнений:

$$i(p, \rho) + U^2/2 = H(\psi); \quad S(p, \rho) = S(\psi); \quad \frac{\partial p}{\partial n} = \rho U^2 K, \quad d\psi = -cy\rho U dn,$$

где  $U$  — проекция вектора скорости газа на ось  $t$ ;  $\psi$  — функция тока;  $c$  — константа, которая выбирается так, чтобы при  $\psi = 0$  на оси симметрии значение функции тока на стенке  $\psi_w$  равнялось единице;  $S$  — энтропия;  $K$  — кривизна стенки, а функции  $H(\psi)$  и  $S(\psi)$  определяются по значениям полной энталпии и энтропии газа на линии раздела. В качестве независимой переменной удобно рассматривать  $\psi$ . Параметры определяются последовательно от линии раздела, где  $\psi = \psi_d$  (индекс  $d$  относится к линии раздела), до точки, где  $\psi = \psi_{in}$ , причем  $\psi_w$  находится по значению функции тока в точке схода линии раздела со стенкой. При этом линия  $\psi = \psi_w$  не будет совпадать с заданной стенкой сопла, что связано как с погрешностями

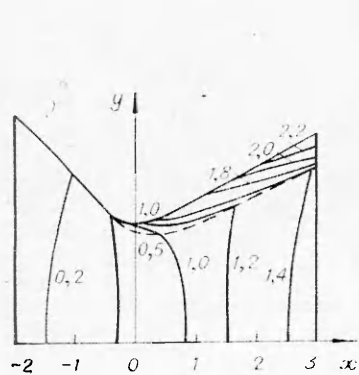
ми, допущенным в расчетах, так и с влиянием неравномерности потока в слое чистого газа.

Контур сопла поправляется с учетом толщины вытеснения, и снова проводится расчет течения с помощью метода установления. На следующем этапе определяются параметры в пристеночном слое. Расчеты показали, что уже после однократного пересчета контура линия  $\psi = \psi_w$  располагается существенно ближе к верхней стенке заданного сопла, чем при первоначальном определении параметров в пристеночном слое. Отклонение линии  $\psi = \psi_w$  от исходного контура сопла составляло в рассмотренных примерах приблизительно 1%. Описанный выше процесс последовательных приближений может быть продолжен.

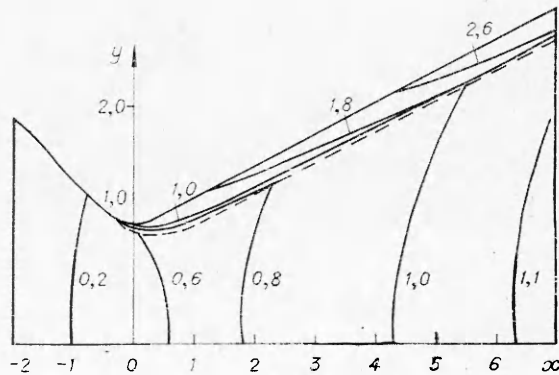
Основные расчеты проводились для осесимметричного сопла, контур которого задавался следующим образом. Сужающаяся и расширяющаяся части были образованы отрезками прямых с углами наклона к оси  $x$  30° и 15° соответственно. Прямолинейные участки плавно сопрягались между собой дугой окружности единичного радиуса (все размеры относились к ординате минимального сечения сопла). Сужающаяся часть сопла приымкает к дуге окружности радиуса  $r=2$ , плавно переходящей в цилиндрический участок того же радиуса. Константы  $\chi$  и  $\delta$  брались равными 1,4 и 0,7 соответственно.

На фиг. 1, 2, где масштаб по оси  $y$  вдвое больше, чем по оси  $x$ , сплошными кривыми изображены линии постоянных чисел Маха газа соответственно для случаев  $m=1/2$  и  $1/4$ , при этом  $\varphi^f=2$  и  $\varphi^g=4$ . Число Маха подсчитывалось по скорости звука в газе  $M=W/a$ . Штриховой кривой изображена линия раздела. Следует отметить, что смещение звуковой линии  $M=1$  вниз по течению от минимального сечения сильно зависит от относительного расхода частиц и составляет на оси 0,85 и 4,29 радиусов горла сопла соответственно при  $m=1/2$  и  $1/4$ . В пристеночном слое происходит интенсивный разгон потока, течение там существенно неравномерное.

В процессе расчетов варьировался параметр  $\varphi^f$ , при этом всегда величина  $\varphi^g$  равнялась удвоенному значению  $\varphi^f$ . На фиг. 3 показано распределение  $M$  газа вдоль оси сопла в его расширяющейся части при  $m=1/2$ . Кривые 1—10 на фиг. 3, 4 соответствуют значениям коэффициента взаимодействия 0; 0,02; 0,05; 0,4; 0,2; 0,5; 1,0; 2,0; 8,0 и равновесному течению, т. е. течению без скоростного и температурного отставания частиц (последнему отвечает  $\varphi^f=\infty$ ). Следует отметить, что  $M$  в выходном сечении сопла всегда меньше величины, соответствующей замороженному течению, когда



Фиг. 1

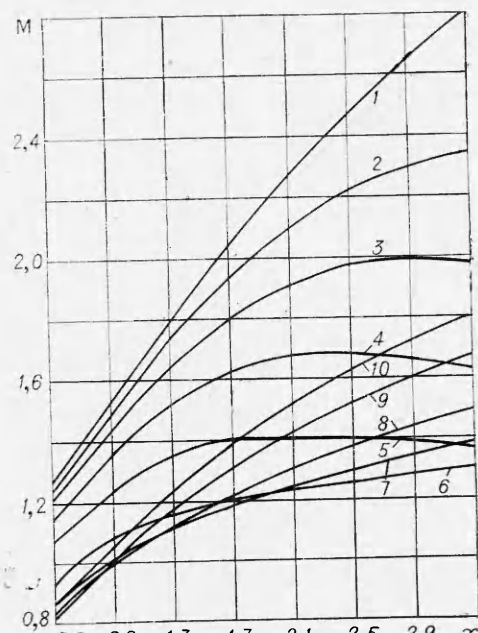


Фиг. 2

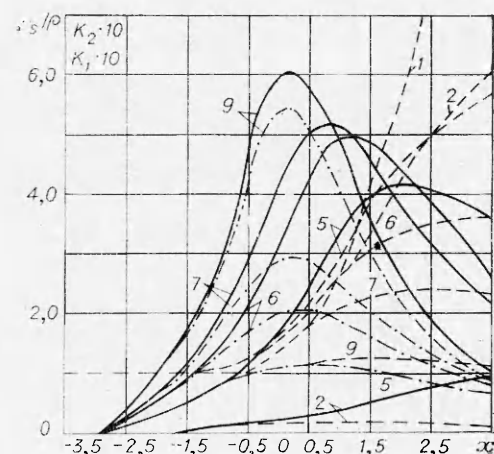
отсутствует взаимодействие между фазами, но может быть как больше, так и меньше значения, отвечающего равновесному течению. В некоторых случаях присутствие частиц приводит к тому, что с ростом  $x$  число Маха на оси сопла начинает уменьшаться. Последнее объясняется преобладанием тормозящего воздействия частиц на газ над разгоном, связанным с расширением сопла.

На фиг. 4 показано изменение некоторых величин, определяющих силовое воздействие частиц на газ, для различных коэффициентов взаимодействия. Уменьшение  $\varphi^f$  приводит к возрастанию отставания частиц по скорости. В то же время, как видно из фиг. 4, величина  $K_1 = -\varphi^f(1 - W_s/W)$ , распределение которой по оси сопла представлено штрихпунктирной кривой, с ростом  $\varphi^f$  при всех  $x$  монотонно увеличивается. Однако силовое воздействие частиц на газ определяется не только отставанием частиц по скорости, но и отношением плотностей частиц и газа. Изменение величины  $\rho_s/\rho$  вдоль оси сопла для различных значений  $\varphi^f$  показано штриховыми кривыми. Следует отметить, что при переходе от равновесного режима течения к замороженному наблюдается возрастание отношения плотностей частиц и газа почти по всей длине сопла. Последнее приводит к немонотонному по  $\varphi^f$  изменению величины  $K_2 = \varphi^f(1 - W_s/W)\rho_s/\rho$ , учитывающей вклад как динамического отставания частиц, так и отношения плотностей в силовое воздействие частиц на газ. Распределения величины  $K_2$  по оси  $x$  для различных значений  $\varphi^f$  показаны сплошными кривыми. Отмеченная немонотонность может быть причиной рассматриваемой ранее особенности в поведении  $M$  газа на оси сопла при изменении  $\varphi^f$ . В работе [4], где представлен обзор по одномерным двухфазным течениям в соплах, также содержатся данные, свидетельствующие о немонотонном изменении скорости газа при увеличении коэффициента взаимодействия.

В заключение автор благодарит А. Н. Крайко за руководство работой, Л. Е. Стернина за ценные замечания, Е. В. Буганову и Л. П. Фролову за помощь в работе.



Фиг. 3



Фиг. 4

## ЛИТЕРАТУРА

1. Васин И. М., Рычков А. Д. Численное решение задачи о течении смеси газа и частиц в осесимметричном сопле Лаваля.—«Изв. АН СССР. МЖГ», 1973, № 5, с. 178—181.
2. Копченов В. И., Крайко А. Н. Решение в рамках двухжидкостной модели прямой задачи о двухфазном течении в сопле Лаваля.—«Труды НИИ Механики МГУ», 1974, № 32.
3. Крайко А. Н., Ткаленко Р. А. К решению прямой задачи теории сопла Лаваля для двухфазной смеси при малом отставании частиц.— ПМТФ, 1973, № 4, с. 89—100.
4. Hoglund R. F. Recent advances in gas-particle nozzle flows.—«ARS J.», 1962, vol. 32, N 5, p. 662—671.

УДК 533.6.011+536.423.4

**ИССЛЕДОВАНИЕ ТРАНСЗВУКОВОГО  
НЕСТАЦИОНАРНОГО ТЕЧЕНИЯ  
ПРИ НАЛИЧИИ ФАЗОВЫХ ПРЕВРАЩЕНИЙ**

Г. А. Салтанов, Р. А. Ткаленко  
(Москва)

Конденсация пересыщенного пара в трансзвуковом потоке может привести к нестационарности течения. Это обусловлено выделением скрытой теплоты конденсации, образованием ударной волны и ее взаимодействием с зоной конденсации. Впервые такое явление отмечено в [1,2], где сказано, что характер движения ударной волны зависит от параметров в начальном сечении, относительной влажности и контура сопла. В работе [3] измерены значительные пульсации параметров потока (с частотой 500—1000 Гц), возникающие при течении в воздухе влажного воздуха и чистого водяного пара. В [4] выведен приближенный закон подобия для безразмерной частоты нестационарного течения. В работах [5,6] рассматриваемое явление изучалось методом обращения воздействия, в [7,8] проведены теоретические расчеты и экспериментально подтверждена диаграмма, позволяющая определить границы области устойчивости течения. В последнее время было найдено, что частота пульсаций давления и плотности при течении с конденсацией влажного воздуха может достигать 6000 Гц [9].

В данной работе модифицированным методом С. К. Годунова [10] получено численное решение системы уравнений, описывающей нестационарное квазидномерное течение со спонтанной конденсацией в трансзвуковой части сопла Лаваля.

Расчеты неравновесных нестационарных течений в соплах методом установления проводились и ранее, например, в работах [11,12] (смешанное течение в соплах), [13] (течение с учетом колебательной релаксации и неравновесных химических реакций), [14] (двуухфазное течение в сопле при рассогласовании фаз по скоростям и температурам). Специфика данной задачи состоит в том, что в процессе установления при стационарных начальных и граничных условиях предельное состояние не является стационарным, однако обнаруживает известную периодичность.

**1.** Рассмотрим нестационарное квазидномерное течение в сопле Лаваля пересыщенного пара без учета вязкости, теплопроводности и излучения. Предположим, что скорости фаз одинаковы, конденсация спонтанная. Зависимость площади поперечного сечения сопла от координаты  $x$ , изменяющейся вдоль оси, задается функцией  $F(x)$ , причем  $x=0$  соответствует минимальному сечению сопла. Пусть  $p$  — давление;  $\rho$  — плотность смеси;  $u$  — скорость;  $t$  — время, параметры конденсирующейся